

11AC20MIMO_Ant1_5200



11AC20MIMO_Ant2_5200



11AC20MIMO_Ant3_5200



11AC20MIMO_Ant4_5200



11AC20MIMO_Ant1_5240



11AC20MIMO_Ant2_5240



11AC20MIMO_Ant3_5240



11AC20MIMO_Ant4_5240



11AC20MIMO_Ant1_5260



11AC20MIMO_Ant2_5260



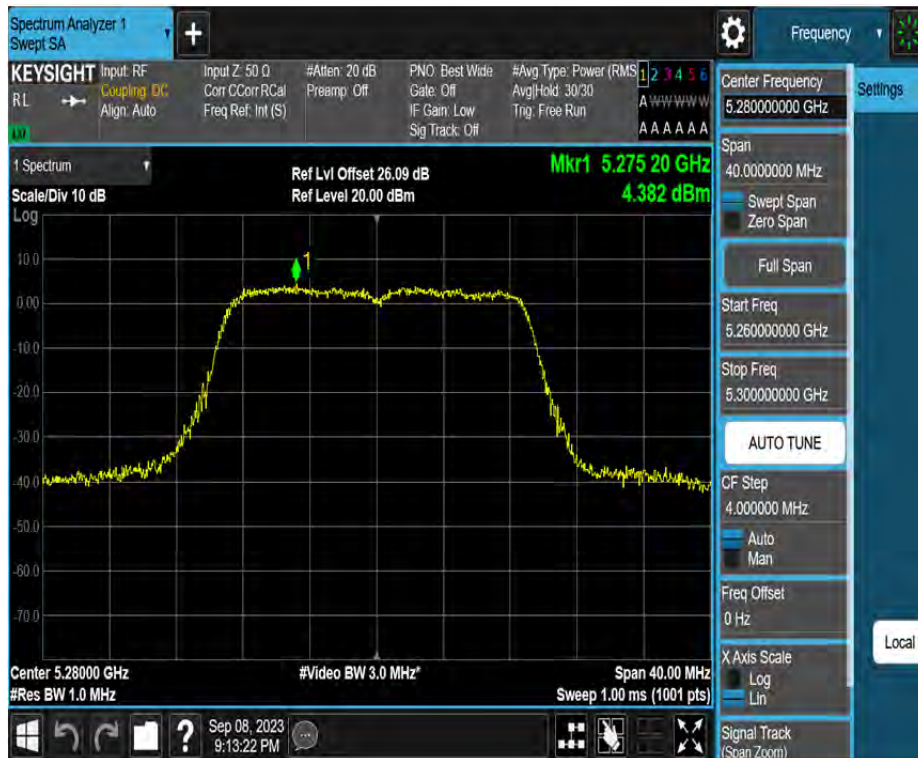
11AC20MIMO_Ant3_5260



11AC20MIMO_Ant4_5260



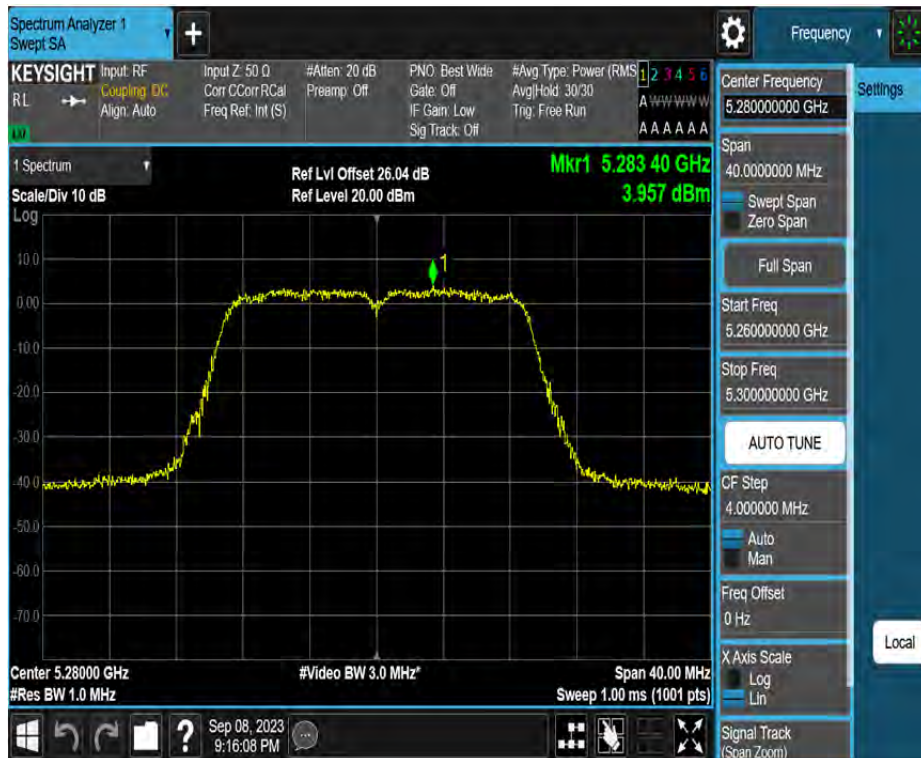
11AC20MIMO_Ant1_5280



11AC20MIMO_Ant2_5280



11AC20MIMO_Ant3_5280



11AC20MIMO_Ant4_5280



11AC20MIMO_Ant1_5320



11AC20MIMO_Ant2_5320



11AC20MIMO_Ant3_5320



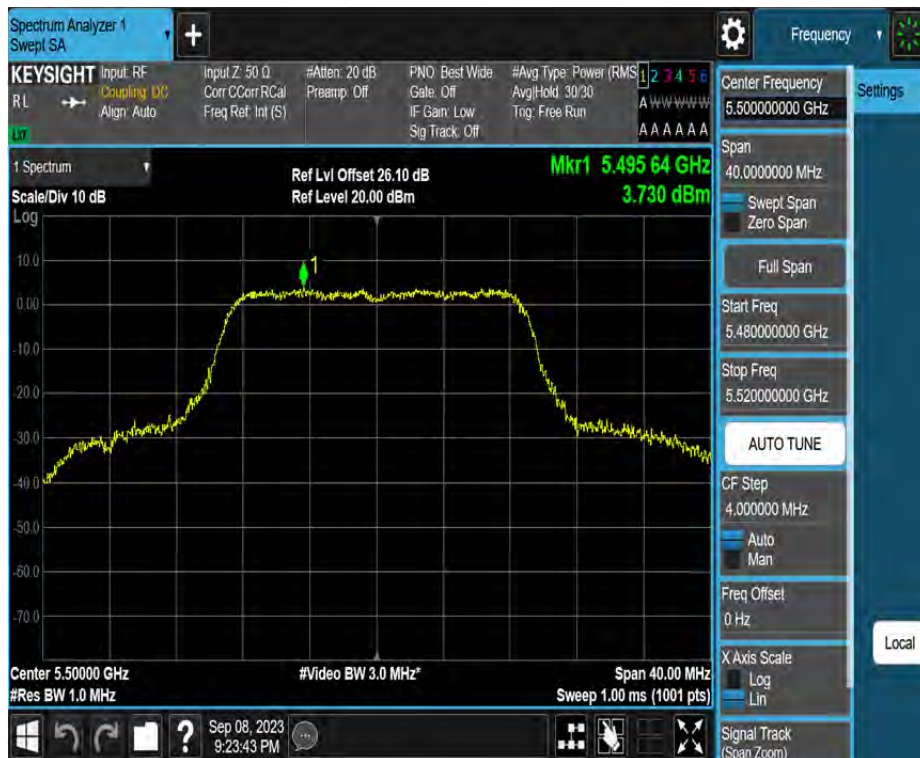
11AC20MIMO_Ant4_5320



11AC20MIMO_Ant1_5500



11AC20MIMO_Ant2_5500



11AC20MIMO_Ant3_5500



11AC20MIMO_Ant4_5500



11AC20MIMO_Ant1_5580



11AC20MIMO_Ant2_5580



11AC20MIMO_Ant3_5580



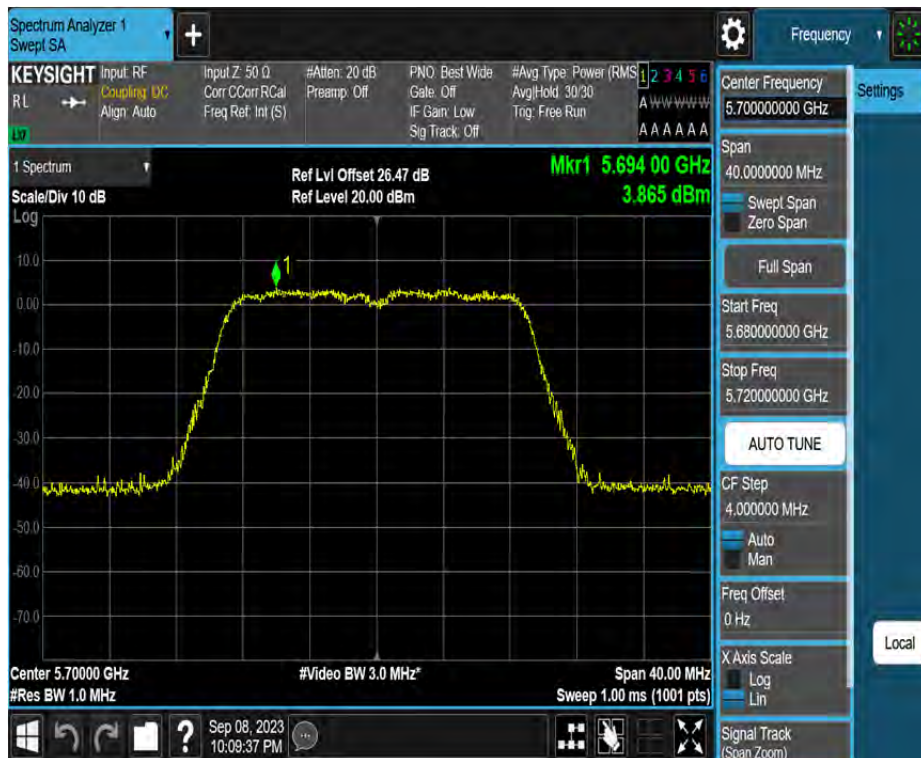
11AC20MIMO_Ant4_5580



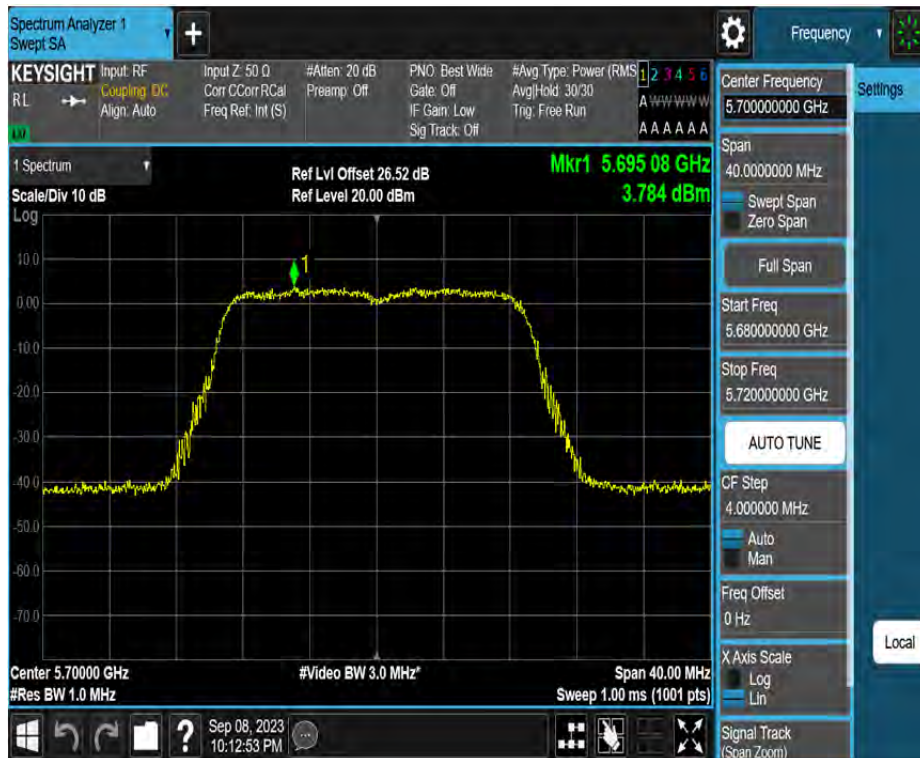
11AC20MIMO_Ant1_5700



11AC20MIMO_Ant2_5700



11AC20MIMO_Ant3_5700



11AC20MIMO_Ant4_5700



11AC20MIMO_Ant1_5745



11AC20MIMO_Ant2_5745



11AC20MIMO_Ant3_5745



11AC20MIMO_Ant4_5745



11AC20MIMO_Ant1_5785



11AC20MIMO_Ant2_5785



11AC20MIMO_Ant3_5785



11AC20MIMO_Ant4_5785



11AC20MIMO_Ant1_5825



11AC20MIMO_Ant2_5825



11AC20MIMO_Ant3_5825



11AC20MIMO_Ant4_5825



11AC40MIMO_Ant1_5190



11AC40MIMO_Ant2_5190



11AC40MIMO_Ant3_5190



11AC40MIMO_Ant4_5190



11AC40MIMO_Ant1_5230



11AC40MIMO_Ant2_5230



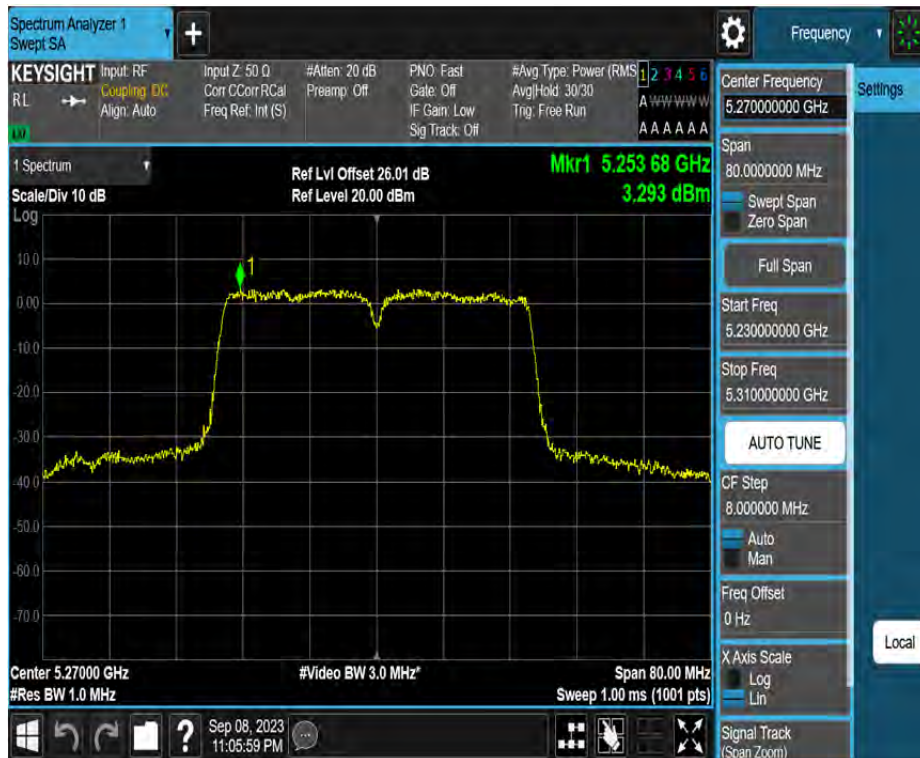
11AC40MIMO_Ant3_5230



11AC40MIMO_Ant4_5230



11AC40MIMO_Ant1_5270



11AC40MIMO_Ant2_5270



11AC40MIMO_Ant3_5270



11AC40MIMO_Ant4_5270



11AC40MIMO_Ant1_5310



11AC40MIMO_Ant2_5310



11AC40MIMO_Ant3_5310



11AC40MIMO_Ant4_5310



11AC40MIMO_Ant1_5510



11AC40MIMO_Ant2_5510



11AC40MIMO_Ant3_5510



11AC40MIMO_Ant4_5510



11AC40MIMO_Ant1_5550



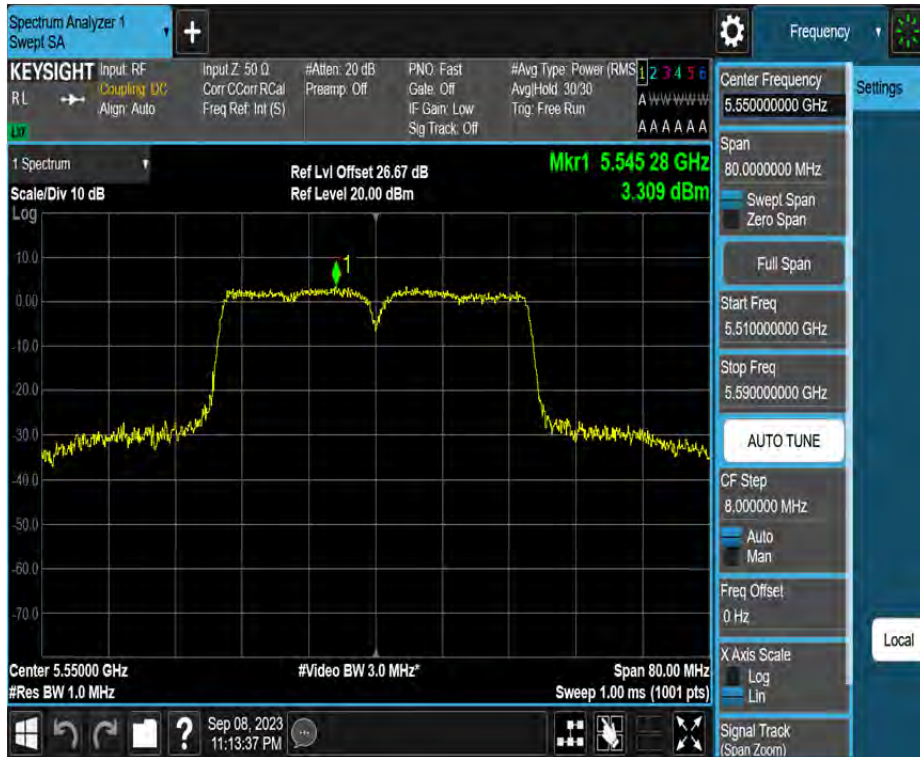
11AC40MIMO_Ant2_5550



11AC40MIMO_Ant3_5550



11AC40MIMO_Ant4_5550



11AC40MIMO_Ant1_5670



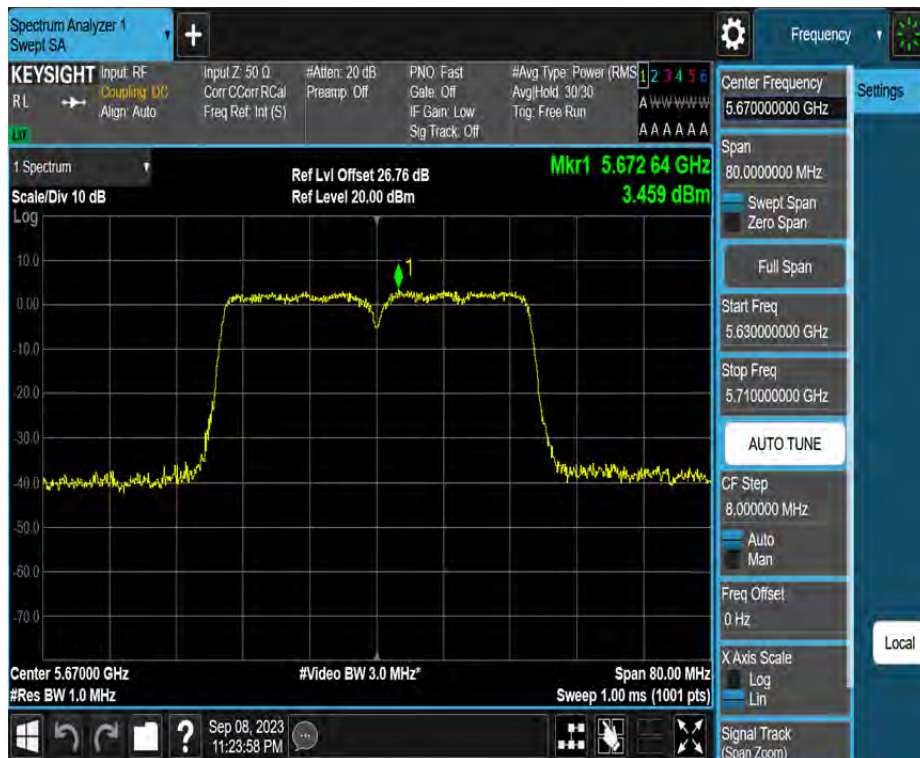
11AC40MIMO_Ant2_5670



11AC40MIMO_Ant3_5670



11AC40MIMO_Ant4_5670



11AC40MIMO_Ant1_5755



11AC40MIMO_Ant2_5755



11AC40MIMO_Ant3_5755



11AC40MIMO_Ant4_5755



11AC40MIMO_Ant1_5795



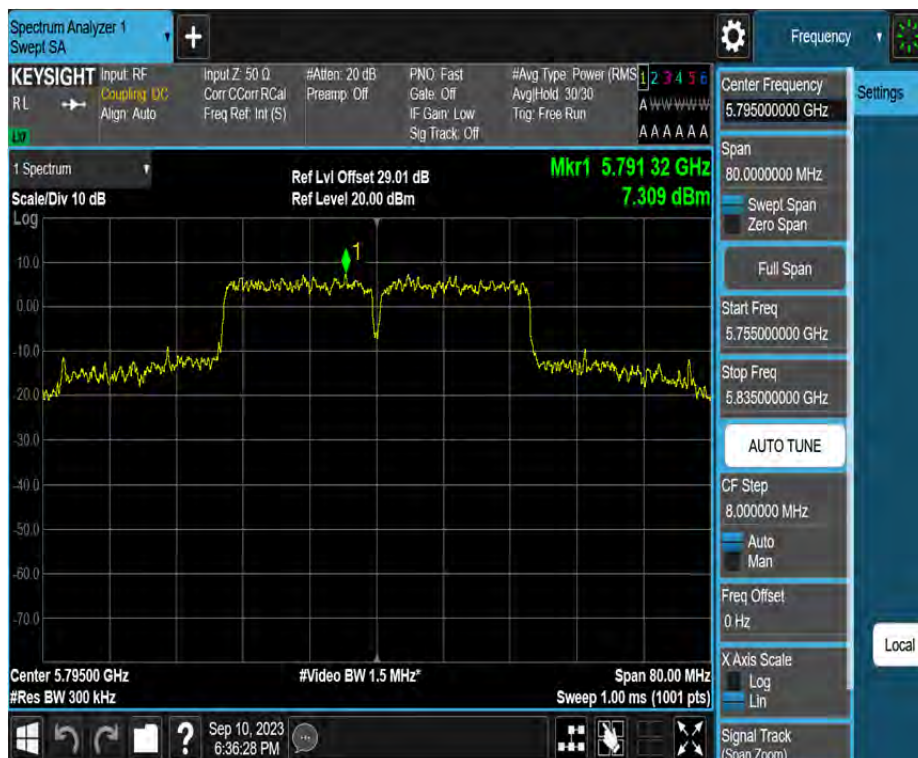
11AC40MIMO_Ant2_5795



11AC40MIMO_Ant3_5795



11AC40MIMO_Ant4_5795



11AC80MIMO_Ant1_5210



11AC80MIMO_Ant2_5210



11AC80MIMO_Ant3_5210



11AC80MIMO_Ant4_5210



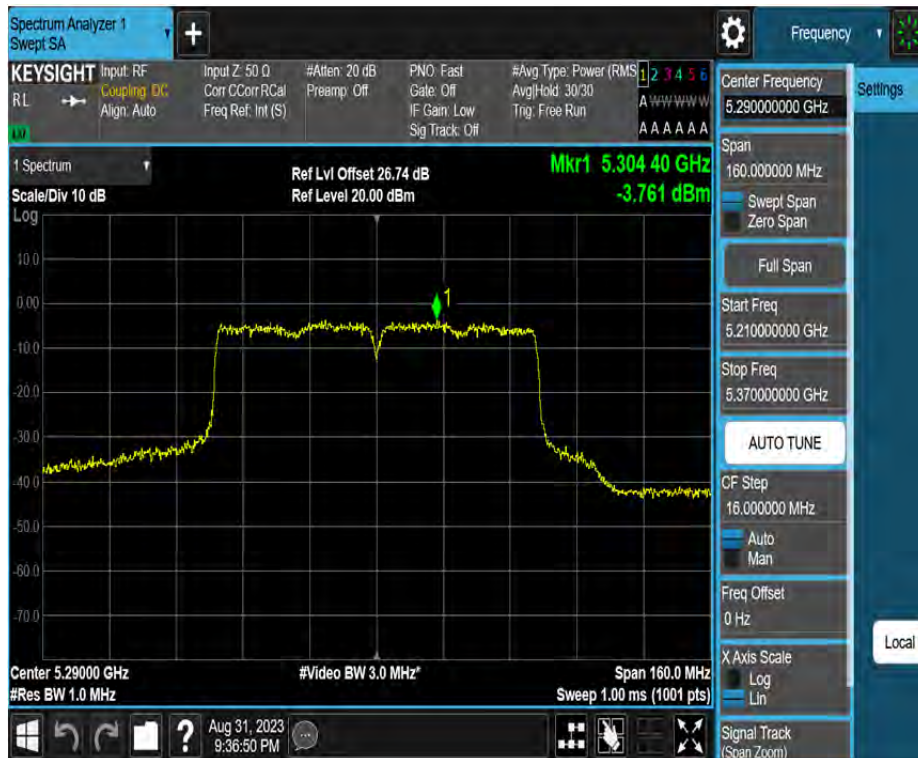
11AC80MIMO_Ant1_5290



11AC80MIMO_Ant2_5290



11AC80MIMO_Ant3_5290



11AC80MIMO_Ant4_5290



11AC80MIMO_Ant1_5530



11AC80MIMO_Ant2_5530



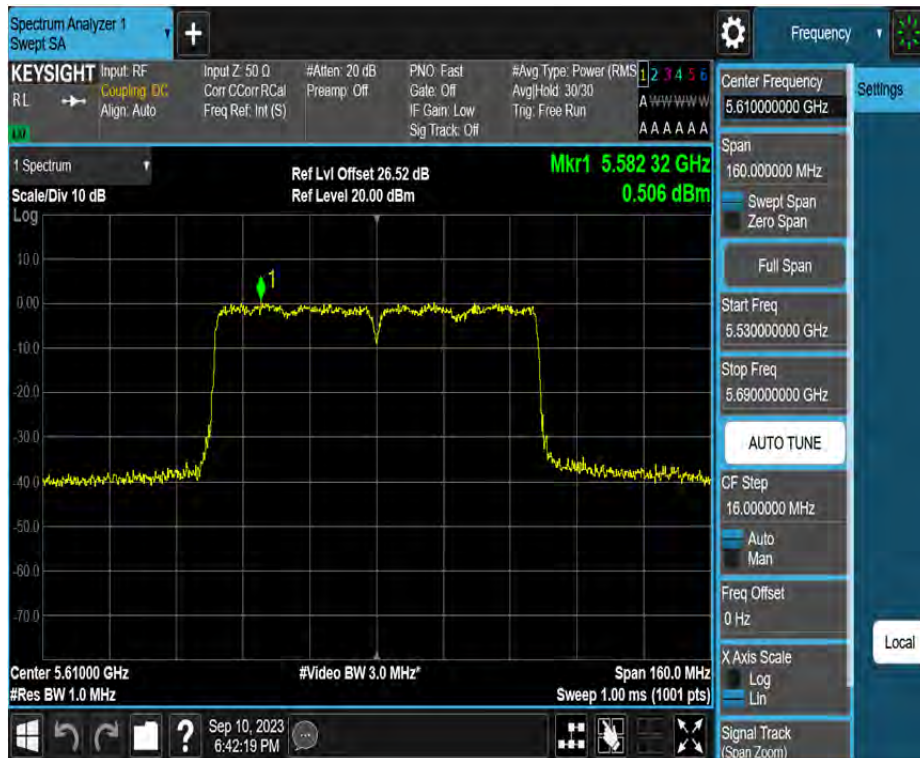
11AC80MIMO_Ant3_5530



11AC80MIMO_Ant4_5530



11AC80MIMO_Ant1_5610



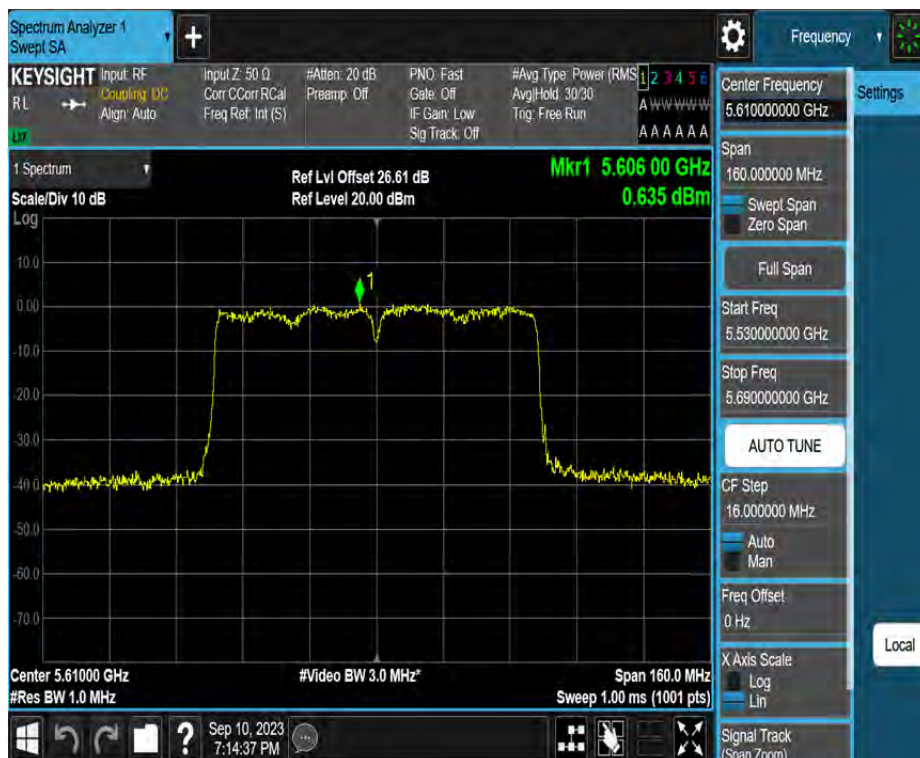
11AC80MIMO_Ant2_5610



11AC80MIMO_Ant3_5610



11AC80MIMO_Ant4_5610



11AC80MIMO_Ant1_5775



11AC80MIMO_Ant2_5775



11AC80MIMO_Ant3_5775



11AC80MIMO_Ant4_5775



11AC160MIMO_Ant1_5250_UNII-1



11AC160MIMO_Ant2_5250_UNII-1



11AC160MIMO_Ant3_5250_UNII-1



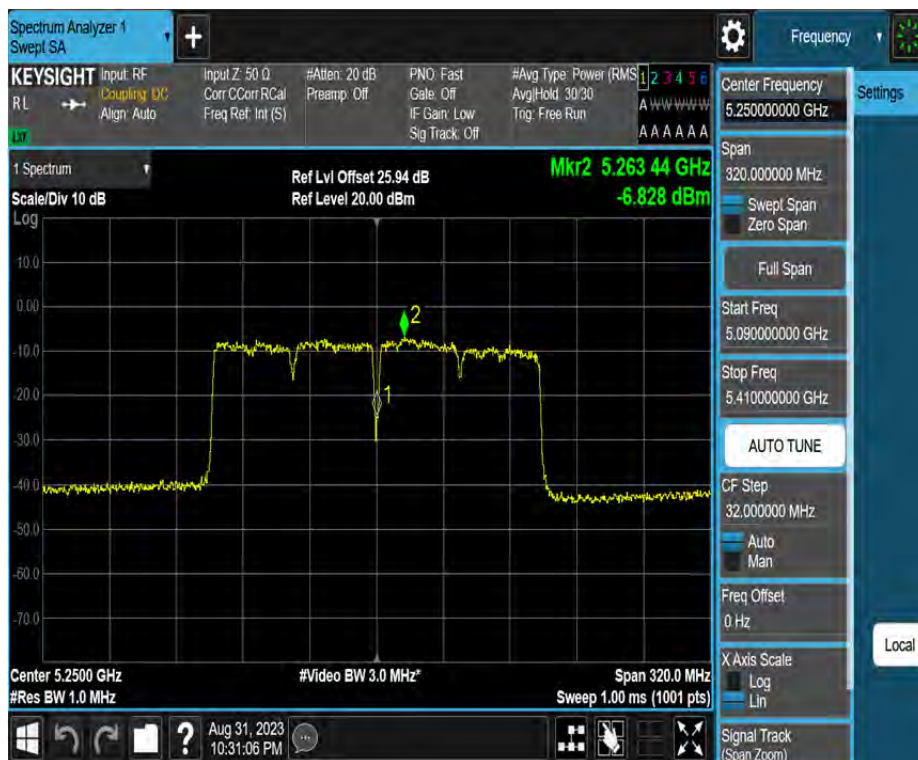
11AC160MIMO_Ant4_5250_UNII-1



11AC160MIMO_Ant1_5250_UNII-2A



11AC160MIMO_Ant2_5250_UNII-2A



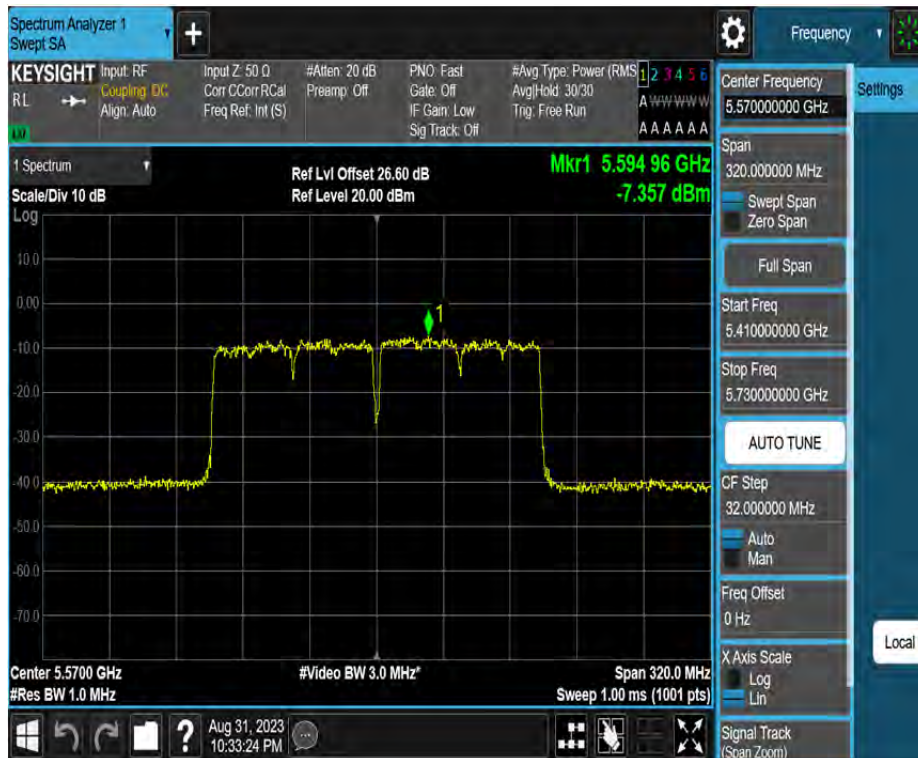
11AC160MIMO_Ant3_5250_UNII-2A



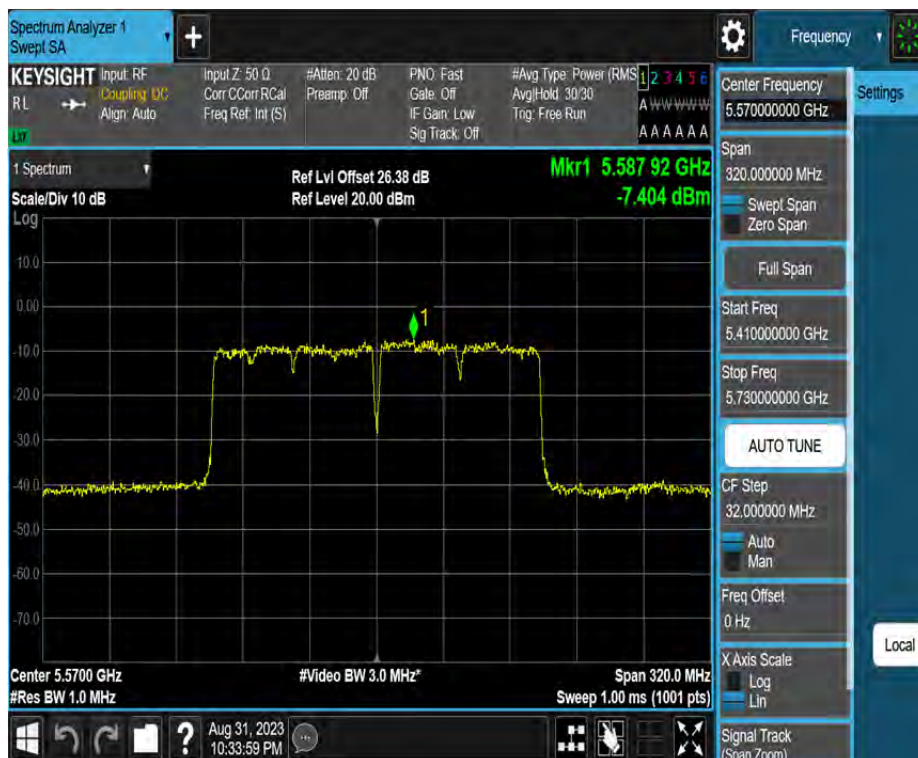
11AC160MIMO_Ant4_5250_UNII-2A



11AC160MIMO_Ant1_5570



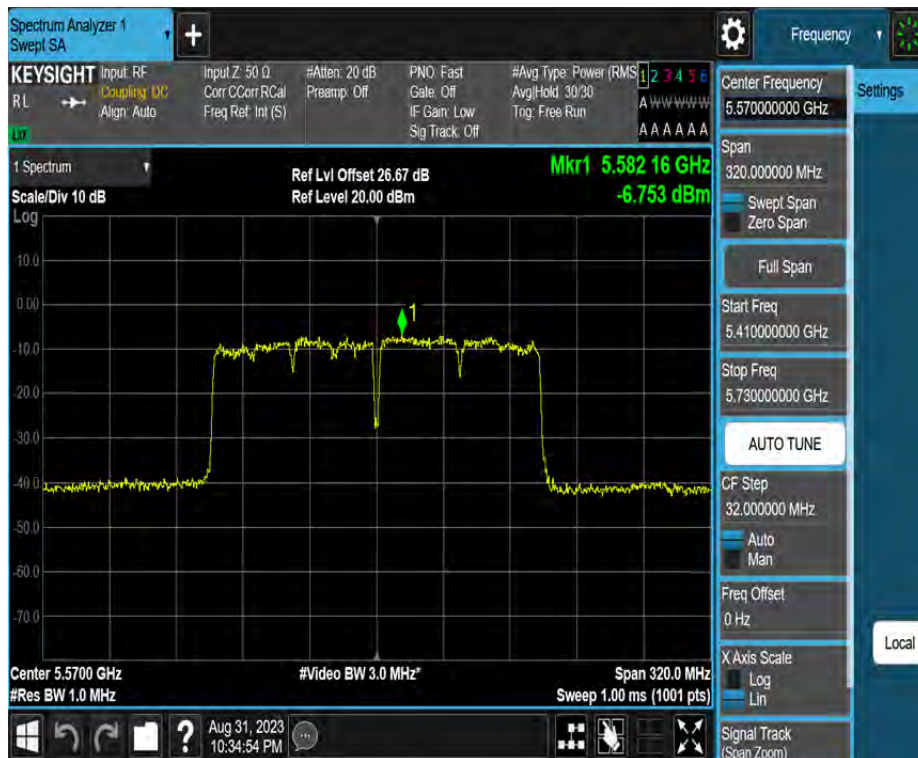
11AC160MIMO_Ant2_5570



11AC160MIMO_Ant3_5570



11AC160MIMO_Ant4_5570



11AX20MIMO_Ant1_5180



11AX20MIMO_Ant2_5180



11AX20MIMO_Ant3_5180



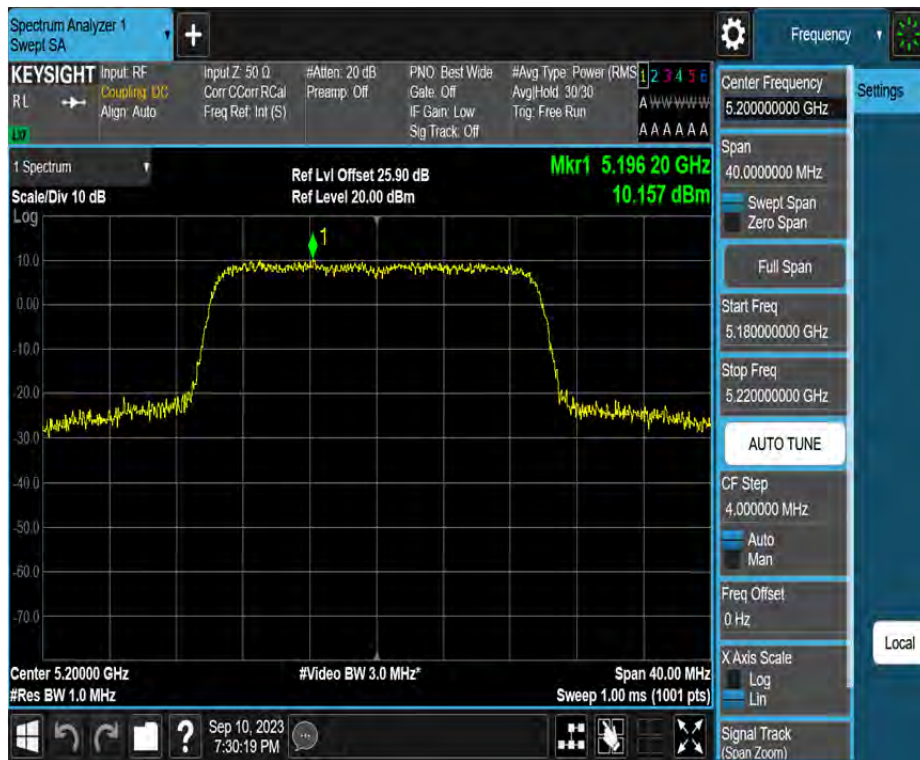
11AX20MIMO_Ant4_5180



11AX20MIMO_Ant1_5200



11AX20MIMO_Ant2_5200



11AX20MIMO_Ant3_5200



11AX20MIMO_Ant4_5200



11AX20MIMO_Ant1_5240



11AX20MIMO_Ant2_5240



11AX20MIMO_Ant3_5240



11AX20MIMO_Ant4_5240



11AX20MIMO_Ant1_5260



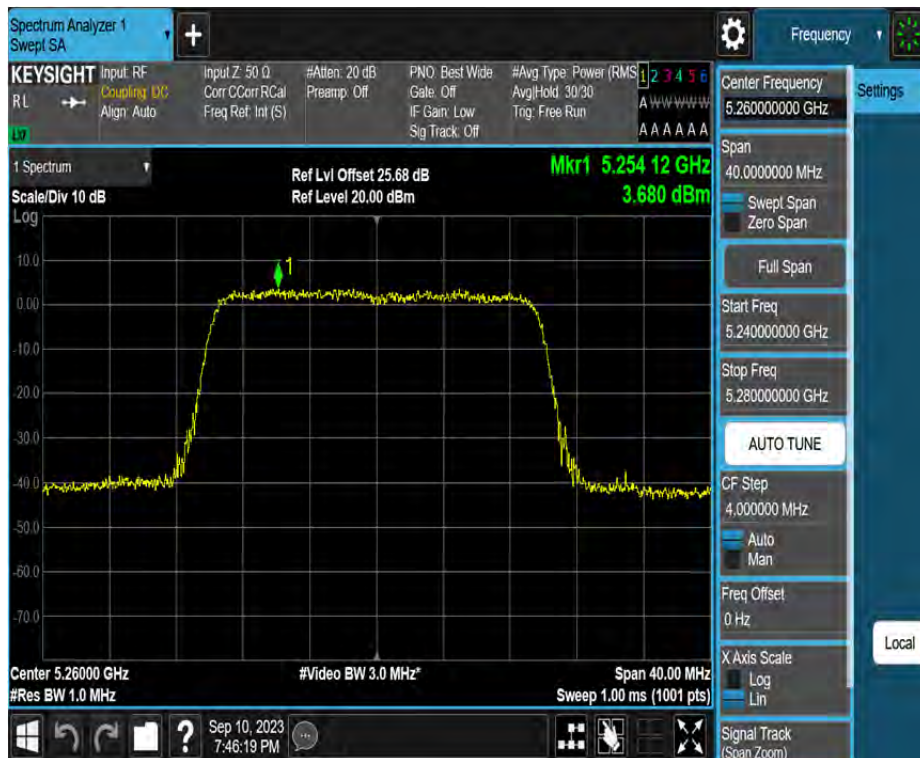
11AX20MIMO_Ant2_5260



11AX20MIMO_Ant3_5260



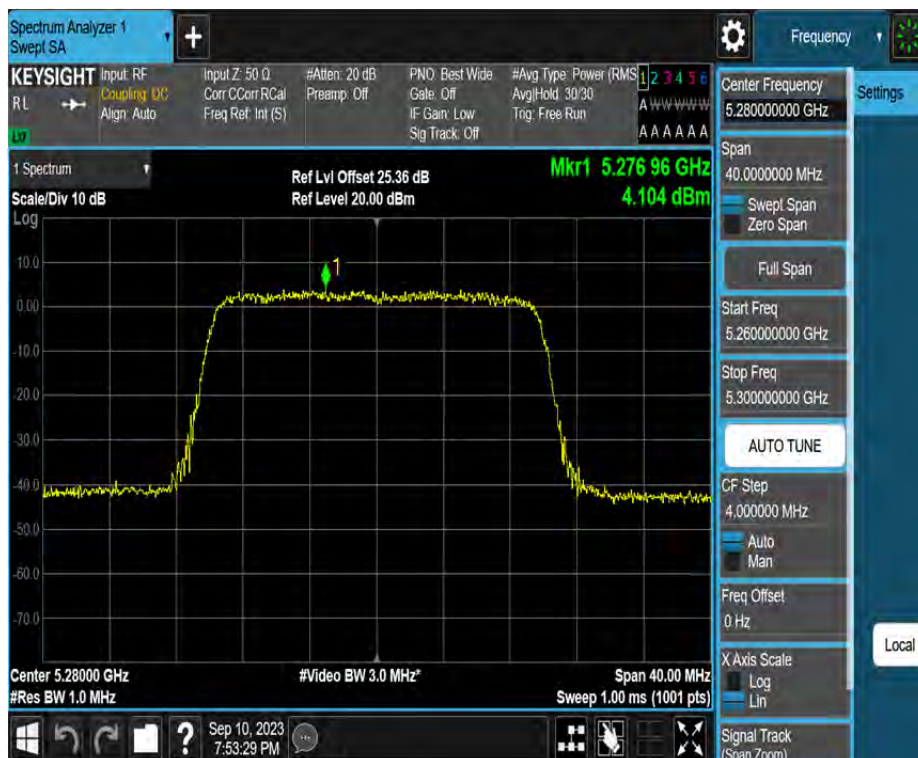
11AX20MIMO_Ant4_5260



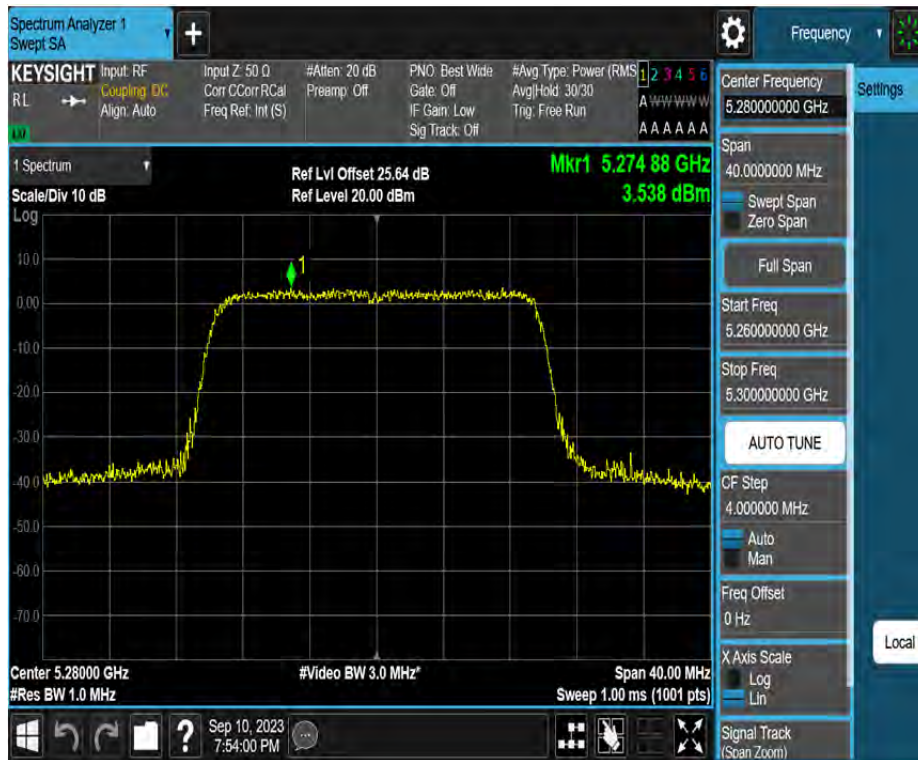
11AX20MIMO_Ant1_5280



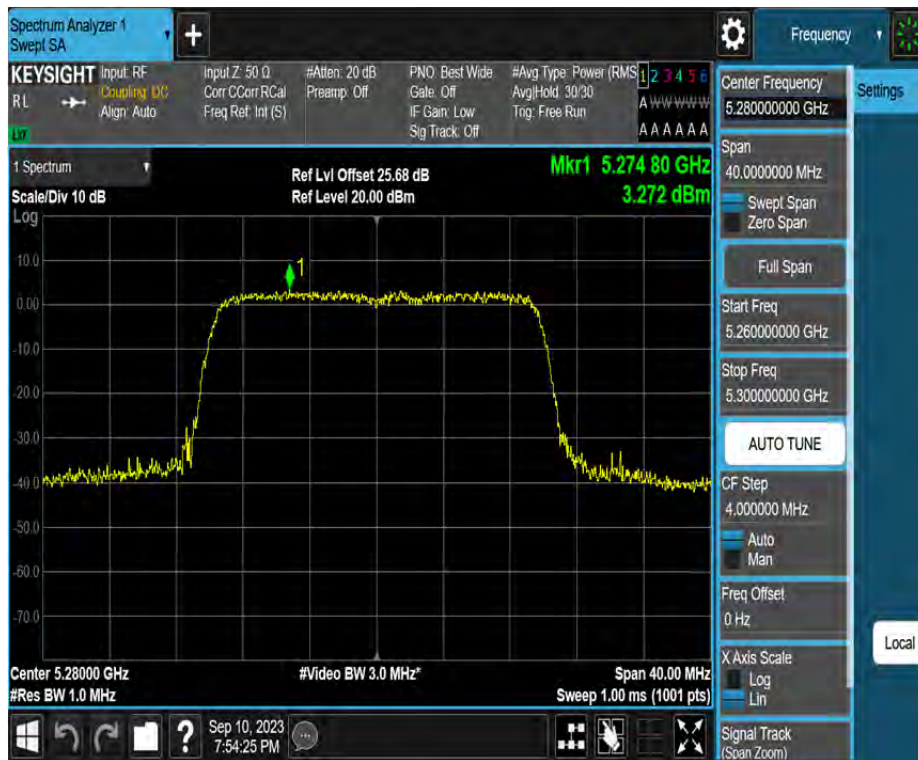
11AX20MIMO_Ant2_5280



11AX20MIMO_Ant3_5280



11AX20MIMO_Ant4_5280



11AX20MIMO_Ant1_5320



11AX20MIMO_Ant2_5320



11AX20MIMO_Ant3_5320



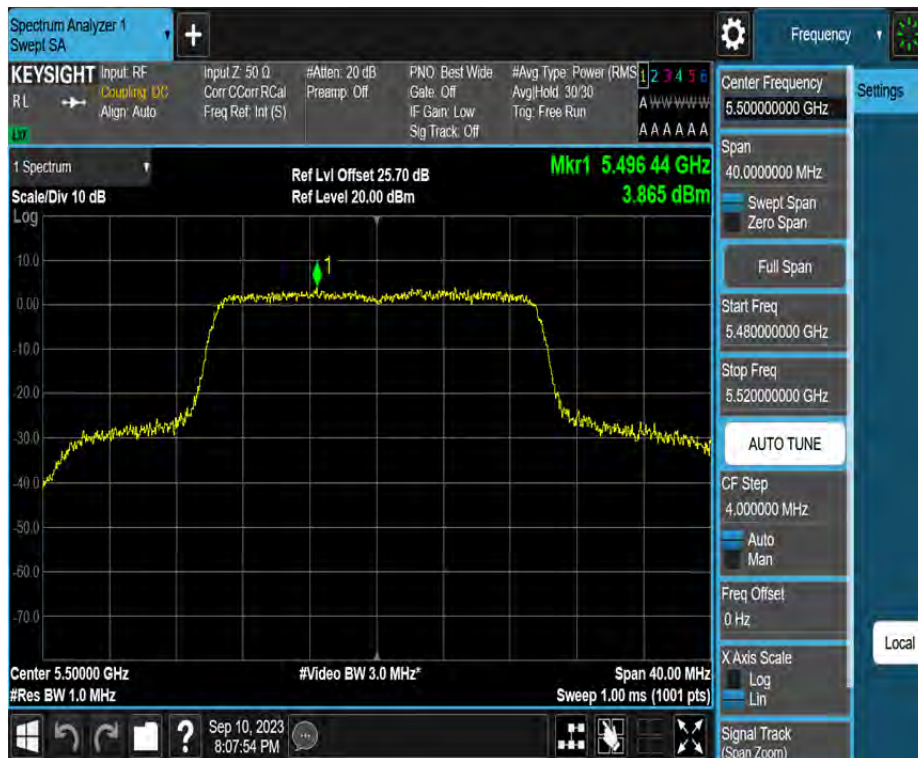
11AX20MIMO_Ant4_5320



11AX20MIMO_Ant1_5500



11AX20MIMO_Ant2_5500



11AX20MIMO_Ant3_5500



11AX20MIMO_Ant4_5500



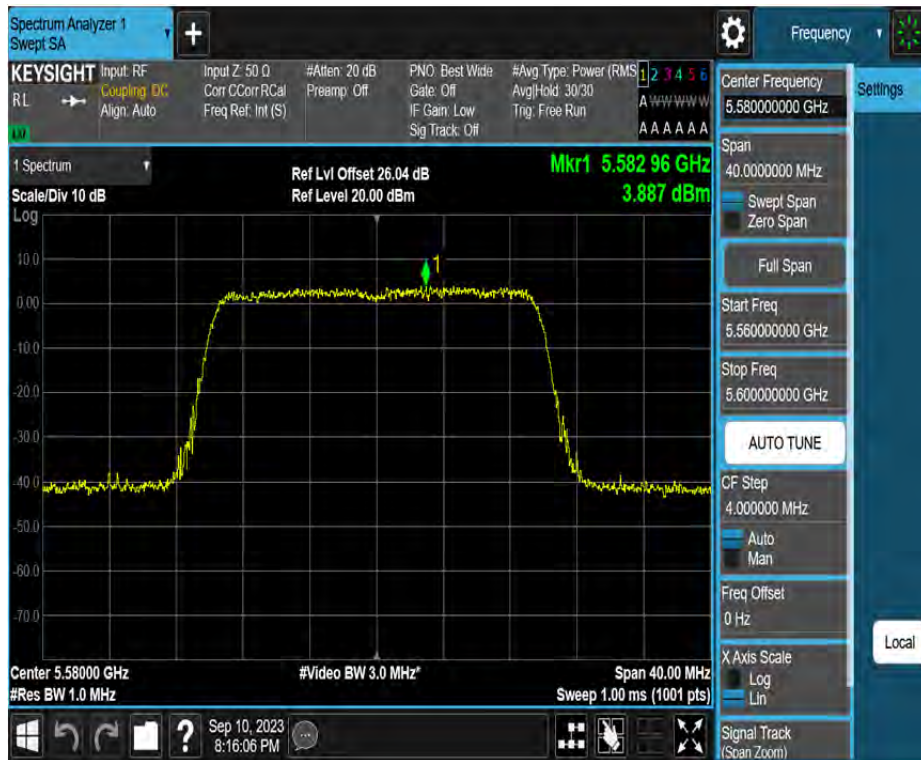
11AX20MIMO_Ant1_5580



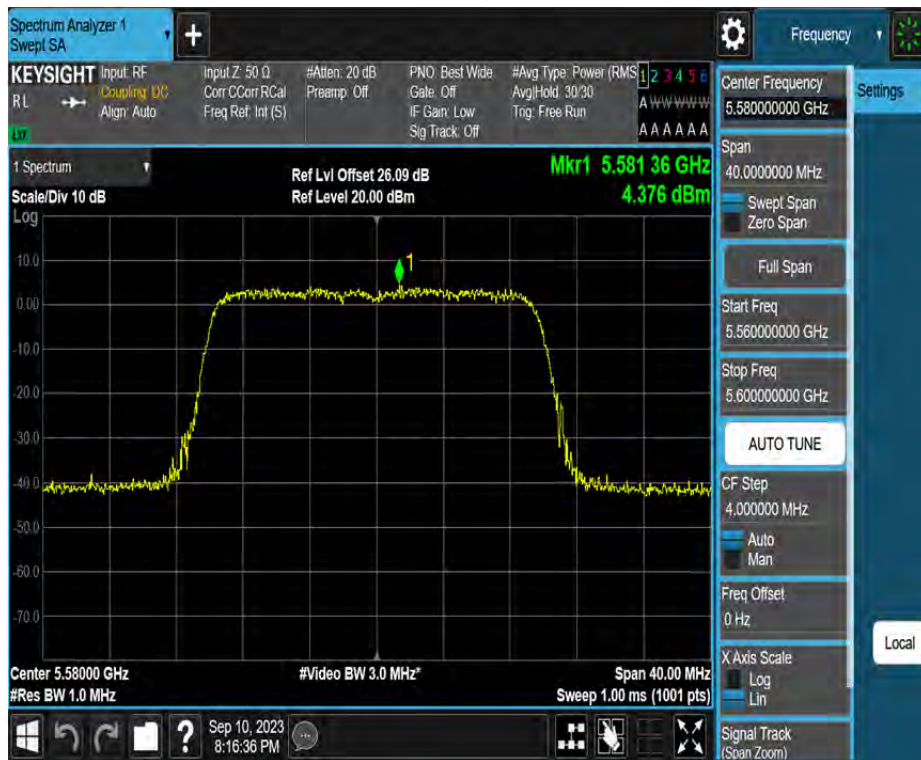
11AX20MIMO_Ant2_5580



11AX20MIMO_Ant3_5580



11AX20MIMO_Ant4_5580



11AX20MIMO_Ant1_5700



11AX20MIMO_Ant2_5700

